

• 病例报道 •

乳腺巨大幼年性纤维腺瘤一例

聂婷婷，马文佳，吴仁华

【关键词】 乳腺疾病；纤维腺瘤；磁共振成像

【中图分类号】 R730.262;R445.2 【文献标识码】 A 【文章编号】 1000-0313(2020)06-0823-02

DOI:10.13609/j.cnki.1000-0313.2020.06.027

开放科学(资源服务)标识码(OSID):

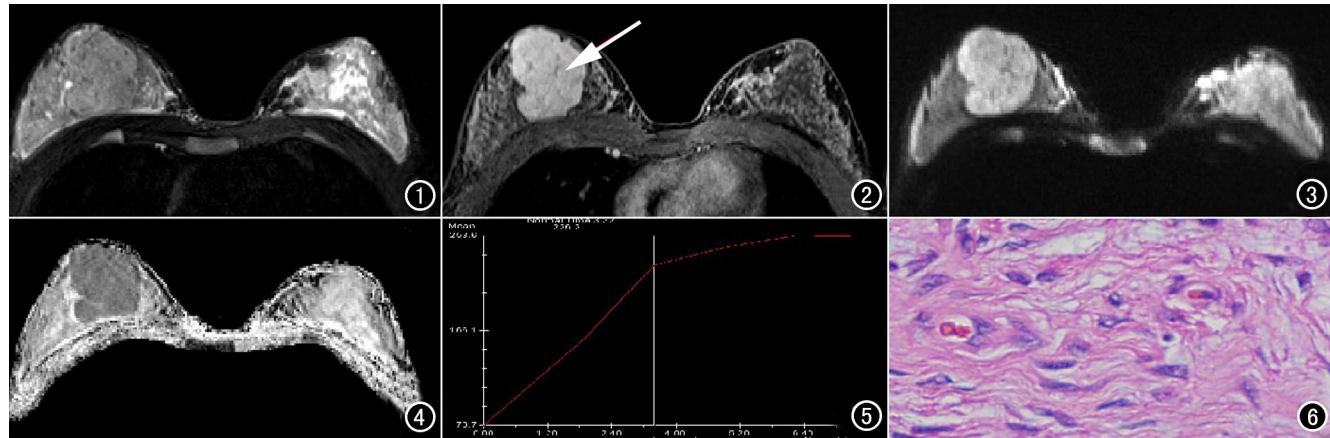


图 1 右乳上象限 T_2 压脂序列稍长 T_2 信号肿块,浅分叶状,边界清楚。图 2 MR 增强示肿块样强化,内见多发低信号纤维分隔(箭)。图 3 DWI 示肿块呈稍高信号($b=800\text{s}/\text{mm}^2$)。图 4 ADC 图示肿块呈低信号。图 5 TIC 曲线呈上升型。图 6 细胞间质丰富,腺上皮普通型增生(HE, $\times 400$)。

病例资料 患者,女,10岁,6个月前无意发现右乳肿块,渐增大。查体:右乳偏内上象限肿块,约 $6\text{cm}\times 5\text{cm}$,质较硬,欠光滑,活动可,无触痛。患者平素未服用含激素类药物及食物,乳房及身高发育较早;经随访患者术后两个月后月经初潮。

影像学表现:右乳上象限 T_2 压脂序列稍长 T_2 信号肿块影,大小约 $5.2\text{cm}\times 4.8\text{cm}$ (图 1);增强示病灶呈肿块样强化,内见多发不强化的低信号纤维分隔(箭,图 2);DWI 示肿块呈稍高信号,ADC 图呈低信号(图 3、4);TIC 曲线呈上升型(图 5)。术后病理示(右)乳腺幼年性纤维腺瘤(图 6)。免疫组化:CK5/6(部分+);ER(+);P63(肌上皮+);Calponin(肌上皮+);VIM(间质+);SMA(间质+);Ki-67(LI:10%)。

讨论 幼年性纤维腺瘤多发生于青春期女性,多为 11~18 岁,好发于月经前后 1~3 年,不足总纤维腺瘤的 10%^[1]。当肿瘤直径 $\geq 5\text{cm}$,或重量 $\geq 500\text{g}$,或占据单侧腺体总量的 80% 时,称为“幼年性巨大纤维

腺瘤”^[2]。国内报道仅为个例,国外最大宗回顾性分析于 2015 年由 Michael Sosin 等发表^[3],系统性回顾了 52 篇文章(47 篇个案报道、5 篇系列报道),共纳入患者 153 例,平均年龄 16.7 ± 4.1 岁;平均大小 $(11.2\pm 9.09)\text{cm}$;约 86% 为单发,91.5% 单侧发生;4 例患者合并妊娠;2 例患者术后复发;约 5.2% 的患者合并已知的自身疾病。

乳腺纤维腺瘤的特征性表现为边界清晰、分叶状结节或肿块,包膜不完整,内部有无强化的低信号分隔^[4]。幼年性纤维腺瘤的鉴别诊断包括炎症、良性增殖性病变[错构瘤、脂肪瘤、乳腺幼年期肥大、假血管瘤性间质增生(PASH)和叶状肿瘤]^[3]。影像上纤维腺瘤主要与良性叶状肿瘤相鉴别,文献报道叶状肿瘤在 MRI 信号上具有一些特征性表现: T_1 WI 较易呈高信号,与肿瘤内有片状出血或富含胶冻样粘液密切相关; T_2 WI 信号常较高并出现低信号分隔,病理基础是叶状肿瘤组织突入上皮腔隙内,使上皮腔呈不规则裂隙状^[5]。影像不典型时二者主要依靠病理鉴别。叶状肿瘤 ADC 值较纤维腺瘤低,前者平均 ADC 值约为 $(1.51\pm 0.30)\times 10^{-3}\text{mm}^2/\text{s}$,后者约为 $(1.67\pm 0.38)\times 10^{-3}\text{mm}^2/\text{s}$ ($b=1000\text{s}/\text{mm}^2$)。曲线类型叶状肿瘤以

作者单位:430070 武汉,湖北省肿瘤医院放射科(聂婷婷)/病理科(马文佳);515000 广东,汕头大学第二附属医院 CT 室(吴仁华)

作者简介:聂婷婷(1988—),女,湖北孝感人,硕士,住院医师,主要从事肿瘤影像诊断工作。

通讯作者:吴仁华,E-mail:rhwu@stu.edu.cn

Ⅱ型多见,纤维腺瘤以Ⅰ型多见^[5-7]。

由于随访和治疗策略不同、患者年龄和乳房发育程度的差异以及患者选择差异,目前对巨大幼年纤维腺瘤治疗缺乏具体指导原则。大宗回顾性研究^[3]患者平均随访时间(14.7±18.8)月(最短1周最长84周);其中98.7%患者短期接受手术治疗,2例患者在药物治疗(促性腺激素释放激素、醋酸甲羟孕酮)后也接受了手术治疗;平均接受手术时间为9.5月(范围从3天~7年);27例(17.6%)接受术后乳房重建,其余为单纯肿块切除术;27例乳房重建术患者肿块平均大小约12cm,最大约22cm,最小约3.5cm,仅4例<10cm,提示肿块大小可能是进行术后乳房重建的独立因素。手术治疗重中之重在于最大限度达到审美效果,包括尽量保留正常乳腺组织及乳头乳晕复合体。Chang等^[8]提出乳房重建术须遵循尽量保留全部正常乳腺、尽量调整(隐藏)皮肤缝合口位置以及尽量使乳头乳晕复合体与对侧保持对称三原则^[9,10]。

参考文献:

- [1] Nikumbh DB, Desai SR, Madan PS, et al. Bilateral giant juvenile fibroadenomas of breasts: a case report[J]. Pathology Research International, 2011, 482046.

- [2] Matz D, Kerivan L, Reintgen M, et al. Breast preservation in women with giant juvenile fibroadenoma[J]. Clinical Breast Cancer, 2013, 13(3): 219-222.
- [3] Sosin M, Pulcrano M, Feldman ED, et al. Giant juvenile fibroadenoma: a systematic review with diagnostic and treatment recommendations[J]. Gland Surg, 2015, 4(4): 312-321.
- [4] 刘伟,叶春涛,嵇鸣,等.乳腺纤维腺瘤的3.0T MRI表现[J].放射学实践,2011,26(3):302-305.
- [5] 王岸飞,胡瑛,王晓燕,等.乳腺叶状肿瘤的3.0T MRI表现[J].放射学实践,2017,32(8):73-76.
- [6] 龙威.乳腺叶状肿瘤的影像学表现分析[J].中国临床医学影像杂志,2012,23(2):113-116.
- [7] 薛梅,李静,周纯武,等.MRI在乳腺叶状肿瘤与纤维腺瘤鉴别诊断中的应用价值[J].磁共振成像,2014,5(4):246-252.
- [8] Poh MM, Ballard TN, Wendel JJ. Beckwith-Wiedemann syndrome and juvenile fibroadenoma: a case report[J]. Annals of Plastic Surgery, 2010, 64(6): 803-806.
- [9] Lee CJ, Kim YJ, Seo YT, et al. Treatment of multiple bilateral juvenile fibroadenomas in a teenage breast by central pedicle breast reduction, with vertical and short horizontal scar: case report[J]. Aesthetic Plastic Surgery, 2004, 28(4): 228-230.
- [10] Agaoglu G, Ozgür F, Erk Y. Unilateral virginal breast hypertrophy[J]. Annals of Plastic Surgery, 2000, 45(4): 451.

(收稿日期:2019-07-03 修回日期:2019-08-02)